

せん断中ににおける砂粒子の変位測定について

提携大学工学部 正 村山翔郎
同 ○井上一治

1. まえがき

村山によつて研究された砂の構成式は、砂粒子の構造状態と粒子運動に立脚して、物性論的に組立てられたものである。この理論の検証のためにも、また粒子構造の基礎として土の構成特性を求めるためにも、粒子構造と滑動面の粒子の微視的運動を測定することが必要な状況にあるように思われる。

本研究は、砂のせん断時ににおける滑動域の粒子相互の微視的レベルに着目した活動特性を究明しようとするものである。今回は、R. Butterfield 等が考案した字真測量的原理に基づき、透明板をもつ直接一面せん断試験装置を試作して、せん断中の粒子の活動状態を重複字真として撮影し、この字真を用いて、反射実体鏡と Parallax-bar で砂粒子の活動を測定した。その結果活動特性が得られたと思われる所以、その一部を報告する。

2. 実験概要

試料は淀川産(太間)の砂で、 2000μ を通過し 840μ に残留した乾燥砂(比重2.65)を用いた。せん断箱(側面 $120 \times 45 \text{ mm}^2$ 上下)はアクリル樹脂($\mu=1.49$ Grid $10 \text{ mm} \times 10 \text{ mm}$)で試作し、下部可動式で、せん断速度は 1 mm/min で、試料の平均間隔比は 0.79 であった。字真は自動撮影の可能な Contax R.T.S カメラを用いて、側面から 60° 離れた固定点より、15秒間隔に撮影した。

3. 測定法

測定原理は、図-1に示すように 1 枚のカトラを固定してある粒子の移動前 A と移動後 A' を撮影した状態である。 a, a' は字真上に対応する点を示す。この 2 枚の字真より視差値が得られる。図-2は、実体鏡の状態を示し、移動量は水平成分と垂直成分に分けて測定する。

筆者らが用いた装置は、反射実体鏡(東京光学)と Parallax-bar (100 mm)である。図-3は 移動量(b)の測定状態を示している。基準面を Grid Line として 視差 α を測定して $\delta = b/M$ として求め、字真縮尺: M 、Grid Line はせん断方向を X、これに垂直な方向を Y 軸とした。

4. 実験結果と考察

図-4はせん断時の水平成分量を示したもので、(a), (b), (c), (d)は、それを Grid 交点 99 を測定した各応力段階における結果を表わした。すなむち図-4(a)は、せん断箱が最初から 0.5 mm 移動し、その後 0.25 mm 動いたときの水平成分量で、図-5は示した L-1 の区間である。以下同様に(b)は 0.75 mm から 0.25 mm で L-2 の区間

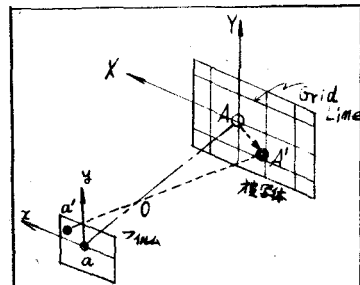


図-1 字真撮影

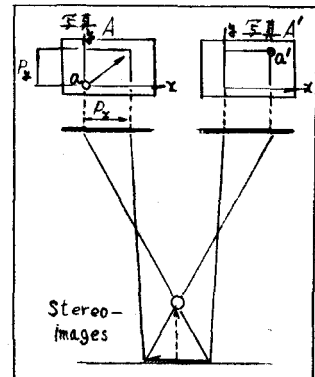


図-2 実体鏡

(C)は、 1.00 から 0.25 で L_3 の区间、および 1.50 から 0.25 で L_4 を示す(図-6参照)。

図-4に示した曲線は、せん断時のせん断ひずみに対応するものと推察され、以下分布の特性を表すといふと考えられる。

応力の増加時の L_1, L_2, L_3 と破壊時附近における L_4 を比較すれば、粒子活動が順次塑性域から破壊域に移りせん断線上に形成されて、一様な滑動域ができる現象を表すものと考えられる。粒子の配向がどのようになるか明らかにする力を試みるため、両端の側壁の影響の少ない中央付近で一粒単位に近い状態で粒子の動きを測定し、活動特性との関係を現在検討している。

5. 結論

(1)測定は連続した空間像で観測できるので細部の崩壊まで、2粒座では1粒単位に近い測定ができる。

(2)誤差の取り扱い及び補正について考慮する。

(3)この装置で粒子が連続して活動する特性は、五つ程度得られた。

測定についてご指導いただいた近畿測量学校の小林和夫教授に謝意を表す。(参考文献)

1. 村山耕郎: 構成式砂の構成式
地盤全般実験 2362, 1975

2. 村山耕郎: 塑性状態による構成式
地盤全般実験 2319, 1976

3. S. Murayama: Constitutive equations
of particulate material
in the failure state.
Proc 9th ICSMFE

4. R. Buttrfield, R.H. Harlaness and
K.Z. Andrawes: A Stereo-Photogrammetric Method for

Measuring Displacement Fields. Geotechnique 20, 1970

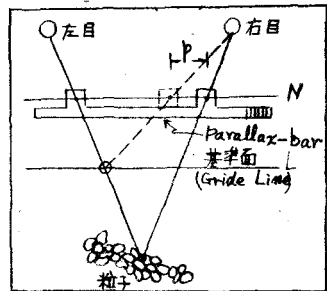


図-3 視差測定

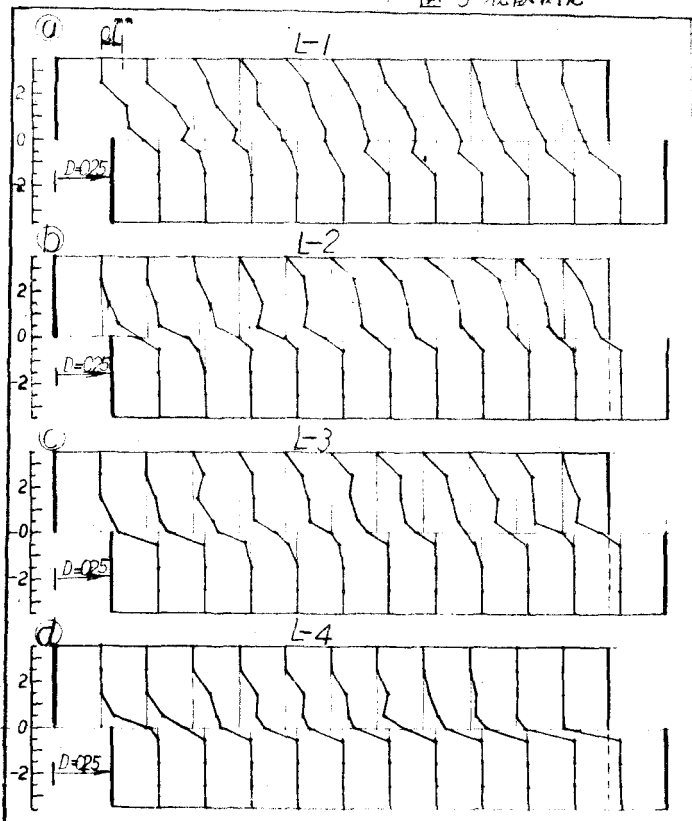


図-4 水平成分量

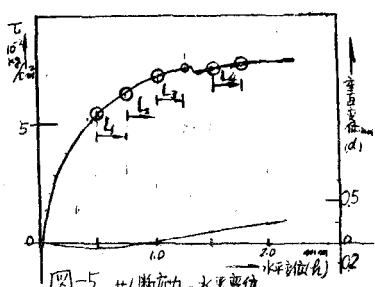
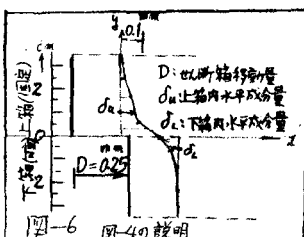


図-5 せん断応力-水平変位